

# ساخت کامپوزیت‌های سیمانی مهندسی شده (ECC)

## با استفاده از مصالح داخلی و تسلیح آنها

### با استفاده از بافته‌های شیشه

ابراهیم صادقی (کارشناس ارشد)

داود مستوفی‌نژاد (استاد)

علیرضا سلجوقیان \* (استادیار)

دانشکده‌ی هندسی عمران، دانشگاه صنعتی اصفهان

امروزه به تولید کامپوزیت‌های سیمانی مهندسی شده (ECC)، که تحت آزمایش کشش مستقیم از خود رفتار سخت‌شوندگی کرنشی و شکل‌پذیری بالا نشان می‌دهند، توجه می‌شود. به منظور تولید ECC، نیاز به مصالحی نظری: حاکستر بازی و الیاف PVA است که در داخل کشور موجود نیست. در پژوهش حاضر ۱۳ طرح اختلاط مختلف ECC با استفاده از مصالح موجود در داخل کشور، نظری: سرباره، پور سنگ آهک، پوزولان صنعتی، میکروسیلیس و الیاف پلی‌پروپیلن ساخته شده و مشخصات مکانیکی آنها، شامل مقاومت‌های فشاری و خمشی بررسی شده است. نتایج آزمایشگاهی نشان داد که استفاده‌ی بھینه از مصالح داخلی، نظری میکروسیلیس و سرباره به ترتیب به میزان ۱۰ و ۲۸ درصد وزنی سیمان و همچنین استفاده از پوزولان صنعتی به میزان ۲۲٪ وزنی سیمان، باعث بهبود مشخصات مکانیکی ECC می‌شود. در ادامه، بهترین طرح اختلاط ECC با استفاده از بافته‌ی شیشه مسلح شد و تحت آزمایش خمیز قرار گرفت. نتایج نشان داد که استفاده از سه لایه‌ی بافته‌ی شیشه در ECC، باعث افزایش مقاومت خمشی به میزان ۲۷٪ نسبت به نمونه‌ی ECC غیرمسلح شده است.

imansadeghi7373@yahoo.com  
dmostofi@iut.ac.ir  
a.saljoughian@iut.ac.ir

وازگان کلیدی: کامپوزیت سیمانی مهندسی (ECC)، مصالح در دسترس، میکروسیلیس، پوزولان صنعتی، مشخصات مکانیکی.

## ۱. مقدمه

در دهه‌های پیشین، مطالعات فراوانی به منظور ساخت بتنهای الیافی انجام شده است. نتایج آزمایش‌های کشش مستقیم و خمش چهارنقطه‌ی در مطالعات مختلف نشان می‌دهد که استفاده از الیاف با مقاومت کششی بالا، باعث افزایش مقادیر مقاومت‌های خمشی و کششی می‌شود. کامپوزیت سیمانی مهندسی شده باعث تنش‌های کششی در سازه‌های بتونی از میلگرد‌های فولادی استفاده می‌شود. در تولید بتون از سیمان پرتالند استفاده می‌شود، که تولید آن مستلزم صرف هزینه‌های زیاد و اتلاف انرژی بسیار است. مطالعات نشان می‌دهند که در آینده، میزان تقاضای بتون افزایش خواهد یافت و تولید سیمان، نیازمند مصرف منابع طبیعی و رهاسازی حجم فراوانی از دی‌اسکییدکرن به محیط زیست است. لازم به ذکر است که ۵ تا ۷ درصد از گازهای گلخانه‌یی آزاد شده در جو، ناشی از فرایند تولید سیمان است.<sup>[۱]</sup>

بن یکی از مهم‌ترین مصالح ساختمانی شناخته شده در جهان است که در یک قرن گذشته از آن به وفور استفاده شده است. مقاومت کششی و خمشی پایین بتون معمولی و همچنین ترد بودن رفتار آن، مهم‌ترین ضعف بتون است. به همین دلیل، به منظور تحمل تنش‌های کششی در سازه‌های بتونی از میلگرد‌های فولادی استفاده می‌شود. در تولید بتون از سیمان پرتالند استفاده می‌شود، که تولید آن مستلزم صرف هزینه‌های زیاد و اتلاف انرژی بسیار است. مطالعات نشان می‌دهند که در آینده، میزان تقاضای بتون افزایش خواهد یافت و تولید سیمان، نیازمند مصرف منابع طبیعی و رهاسازی حجم فراوانی از دی‌اسکییدکرن به محیط زیست است. لازم به ذکر است که ۵ تا ۷ درصد از گازهای گلخانه‌یی آزاد شده در جو، ناشی از فرایند تولید سیمان است.<sup>[۱]</sup>

\* نویسنده مسئول:  
تاریخ: دریافت ۱۷/۱/۱۴۰۱، اصلاحیه ۲۵/۱۰/۱۴۰۱، پیشنهاد ۲۵/۱۱/۱۴۰۱.

استناد به این مقاله:

صادقی، ابراهیم، مستوفی‌نژاد، داود، و سلجوقیان، علیرضا، ۱۴۰۲. ساخت کامپوزیت‌های سیمانی مهندسی شده (ECC) با استفاده از مصالح داخلی و تسلیح آنها با استفاده از بافته‌های شیشه. مهندسی عمران شریف، (۳۹)، صص. ۳۵-۲۵. DOI:10.24200/J30.2023.60839.3127

جدول ۱. مشخصات فیزیکی سیمان استفاده شده در پژوهش حاضر و مقایسه با مقادیر مجاز

		نرمی (m <sup>3</sup> /kg)		زمان گیرش (min)		مقاومت فشاری (MPa)	
		اولیه	نهایی	۳ روزه	۷ روزه	۲۸ روزه	-
سیمان مصرفی		۹۵	۱۵۰	۱۷۲	۲۷/۵۸	۳۷۸	-
[۱۴]ASTM C۱۵۰		۳۰۰	۲۸۰<	-	-	۱۶۸	۱۰۸

سیمان، هیدرات سیلیکات‌کلسیم تولید می‌کند و باعث افزایش دوام و مقاومت بتن می‌شود.<sup>[۱۵]</sup> استفاده از مقادیر بالای خاکستر بادی، باعث بهبود خواص مکانیکی، دوام، طول عمر، ظرفیت شکل‌پذیری و پهنای عرض ترک بتن می‌شود. علاوه بر این، نتایج حاکی از آن است که استفاده از خاکستر بادی در ECC، باعث ایجاد ترک‌های مویی متعدد با عرض کم و کاهش تأثیر عوامل مخرب محیطی در بتن می‌شود.<sup>[۱۶]</sup>

خاکستر بادی به مقدار وسیعی در کشورهای مختلف دنیا تولید می‌شود؛ این در حالی است که در ایران به دلیل عدم استفاده از سوخت ذغال سنگ در نیروگاه‌های تولید برق، خاکستر بادی تولید نمی‌شود. از اهداف دیگر مورد نظر در پژوهش حاضر، جایگزینی خاکستر بادی با ترکیبی از پوزولان‌های شناخته شده، نظری: میکروسیلیس، سرباره‌ی گرانوله و پودر سنگ آهک و همچنین پوزولان صنعتی به منظور تولید کامپوزیت سیمانی مهندسی شده با ویژگی‌های ساخت‌شدنگی کرنشی، چند ترک‌خوردگی و ظرفیت کرنشی بالاست.

همان‌طور که در قسمت‌های قبل اشاره شد، مقاومت خمشی و کششی ECC نسبت به سایر انواع بتن الیافی با عملکرد بالا ناچیز است. به همین دلیل استفاده از ECC در مقاوم‌سازی سازه‌های بتن‌آرمه متدالو نیست. در پژوهش حاضر برای نخستین بار در صنعت بتن به منظور افزایش مقاومت‌های خمشی و کششی پانل‌های ECC، از بافت‌های شیشه استفاده شده است. همچنین پانل‌های ECC مسلح به بافت‌های شیشه را می‌توان به عنوان یک مصالح مناسب به منظور تقویت سازه‌های بتن‌آرمه استفاده کرد.

بتن، ECC دارای دوام بالا در محیط‌های سولفاتی، کلریدی، مناطق گرسییری و نیز سیکل‌های متوالی انجام و ذوب‌شدنگی است.<sup>[۷-۵]</sup> لازم به ذکر است که پژوهشگران در سال‌های پیشین، دوام کامپوزیت سیمانی مهندسی شده را تحت چرخه‌های انجام و ذوب‌شدنگی متوالی و محیط‌های اسیدی و کلریدی بررسی کرده و دریافت‌های که در حضور مقادیر بالای یون کلر، کامپوزیت‌های سیمانی مهندسی شده قادر به حفظ ظرفیت کرنش کششی خود تا بیش از ۳٪ هستند. همچنین نتایج نشان داد که نمونه‌های بتن معمولی پس از ۱۱۰ چرخه انجام - ذوب‌شدنگی به شدت از بین می‌روند؛ این در حالی است که نمونه‌های کامپوزیت سیمانی مهندسی شده بدون آن که چهار آسیب زیادی شوند، تا ۳۰۰ چرخه دوام می‌آورند.<sup>[۸]</sup>

از جمله مهم‌ترین ویژگی‌های کامپوزیت سیمانی مهندسی شده، که آن را از سایر انواع بتن متمایز می‌سازد، رفتارهای سخت‌شوندگی کرنشی، شکل‌پذیری بالا و پدیده‌ی چند ترک‌خوردگی است. برخلاف ECC، که از خود رفتار سخت‌شوندگی کرنشی نشان می‌دهد، سایر انواع بتن الیافی از خود رفتار نرم‌شوندگی کرنشی نشان می‌دهند. در واقع بتن الیافی متدالو، پس از رسیدن به بیشینه‌ی تنش کششی گسیخته می‌شود و به سرعت مقاومت خود را از دست می‌دهد؛ این در حالی است که ECC به دلیل رفتار سخت‌شوندگی کرنشی، چند ترک‌خوردگی می‌شود و تنش کششی در آن افت نمی‌کند. در نهایت، با ادامه‌ی روند بارگذاری، یکی از ترک‌ها باز و نمونه چارگسیختگی می‌شود.<sup>[۱۰-۹]</sup> با توجه به رفتار شکل‌پذیر کامپوزیت سیمانی مهندسی شده، از کامپوزیت اخیر به منظور بهبود رفتار المان‌های غیرشکل‌پذیر مانند دیوارهای بنایی استفاده شده است.<sup>[۱۱]</sup> علاوه بر این، با توجه به رفتار متفاوت ECC با بتن معمولی در خمش، مدل‌های مختلفی برای پیش‌بینی رفتار بار - تغییر مکان نمونه‌های منشوری تحت آزمایش خمس چهارنقطه‌ی توسعه یافته است.<sup>[۱۲]</sup>

## ۲. برنامه‌های آزمایشگاهی

### ۱.۲. مصالح

سیمان استفاده شده در پژوهش حاضر، سیمان پرتلند نوع II تولید شده در کارخانه‌ی سیمان اردستان است، که مشخصات فیزیکی و شیمیایی آن، به ترتیب در جدول‌های ۱ و ۲ ارائه شده است. مقایسه‌ی مشخصات فیزیکی و شیمیایی سیمان استفاده شده در پژوهش حاضر با مقادیر مجاز استانداردهای ASTM C۱۵۰<sup>[۱۴]</sup>، نشان دهنده‌ی کیفیت مناسب سیمان است. علاوه بر این، در پژوهش حاضر از مصالحی، نظری: سرباره‌ی کارخانه‌ی ذوب آهن، پوزولان صنعتی شرکت پویا شیمی ساروج، پودر سنگ آهک پیربکران و میکروسیلیس شرکت ازنا به عنوان پوزولان استفاده شده است.<sup>[۱۵-۲۰]</sup> پوزولان صنعتی، پودر خاکستری رنگ با اندازه ۳/۰ تا ۰/۵ میکرون و چگالی ۱/۶ کیلوگرم بر مترمکعب است، که حاوی مقدار قابل توجهی سیلیس فعال است و منجر به واکنش هیدراسیون ثانویه در بتن می‌شود. مشخصات شیمیایی مصالح پوزولانی در جدول ۲ ارائه شده است. لازم به ذکر است که کلیه‌ی پوزولان‌های استفاده شده در پژوهش حاضر با ضوابط مربوط به استاندارد ASTM C۱۴۰<sup>[۲۱]</sup> مطابقت دارند.

ماسه‌ی سیلیسی استفاده شده در پژوهش حاضر، از شرکت ریخته‌گری چیروک

کامپوزیت سیمانی مهندسی شده ترکیبی از سیمان، خاکستر بادی، ماسه‌ی سیلیسی، الیاف پلی‌وینیل الکل، آب و فوق روان‌کننده است. در مطالعات پیشین، به منظور ساخت کامپوزیت سیمانی مهندسی شده از الیاف خاص و گران‌قیمتی، نظری: پلی‌اتیلن و پلی‌وینیل الکل استفاده شده است. الیاف پلی‌وینیل الکل به علت مشخصات هندسی مناسب ارتباط بهتری با ماتریس برقرار می‌کند؛ به همین علت، نمونه‌های ساخته شده با الیاف پلی‌وینیل الکل، دارای طاقت و مقاومت خمشی بیشتری نسبت به نمونه‌های ساخته شده با سایر انواع الیاف است.<sup>[۱۳-۶]</sup> لازم به ذکر است که عدم دسترسی به الیاف پلی‌وینیل الکل در داخل کشور و همچنین قیمت بسیار بالای آن منجر به عدم رغبت به تولید ECC در کشور شده است.<sup>[۱۵]</sup> یکی از اهداف پژوهش حاضر، تولید کامپوزیت سیمانی مهندسی شده با استفاده از الیاف در دسترس و ارزان‌قیمت، نظری الیاف پلی‌پروپیلن است. یکی دیگر از مؤلفه‌های مهم و تشکیل‌دهنده‌ی کامپوزیت‌های سیمانی مهندسی شده، خاکستر بادی است. خاکستر بادی محصول جانبی نیروگاه‌های تولید برق است، که از سوخت ذغال سنگ استفاده می‌کنند. خاکستر بادی حاوی مقادیر قابل توجهی سیلیس فعال است و فعالیت سیمانی ثانویه دارد. در واقع، خاکستر بادی، یک پوزولان صنعتی است که در ترکیب با کلسیم هیدروکسیلید ناشی از واکنش هیدراسیون

جدول ۲. ترکیب‌های شیمیابی مصالح استفاده شده در پژوهش حاضر.<sup>[۲۱ و ۲۰]</sup>

ترکیب‌های شیمیابی	سیمان تیپ II	پوزولان صنعتی	میکروسیلیس	پودر سنگ آهک	سرباره	۳۲/۵
SiO <sub>2</sub>	۲۲	۸۸/۲	۹۵	۱	۰/۸	۸/۸
Al <sub>2</sub> O <sub>3</sub>	۵	۴/۲	۱/۳۲	۰/۳	۰/۲	۱
Fe <sub>2</sub> O <sub>3</sub>	۳/۸۲	۱/۶	۰/۸۹	۰/۲	۰/۴۵	۴۴
CaO	۶۴	۱/۸	۰/۲۶	۰/۵	-	۶/۸
MgO	۱/۹	۰/۱۸	۰/۱۸	۰/۵	-	۲/۵
SO <sub>2</sub>	۱/۵	۰/۰۲	۰/۰۶	-	-	۲/۵
Na <sub>2</sub> O	۰/۲۵	۰/۰۸	۰/۱۵	-	-	-
K <sub>2</sub> O	۰/۴۹	۰/۵۱	۰/۲۱	-	-	-

جدول ۳. مشخصات فیزیکی و مکانیکی الیاف استفاده شده در پژوهش حاضر.<sup>[۲۳]</sup>

نوع الیاف	مقاومت کششی (MPa)	کمینه طول (mm)	قطر الیاف (μm)
پلی پروپیلن	۴۰۰	۱۰	۱۹

### ۳.۲. آزمایش مقاومت کششی

به منظور بررسی رفتار کرنش سختی و همچنین محاسبه‌ی تنش و کرنش کششی ECC، آزمایش کشش مستقیم براساس استاندارد ASTM D۳۰۳۹<sup>[۱۷]</sup> بر روی نمونه‌های آزمایشگاهی انجام شده است. نمونه‌های استفاده شده در آزمایش کشش مستقیم به صورت دمبلی شکل و با ابعاد  $۳۰\text{ mm} \times ۶۰\text{ mm} \times ۱\text{ mm}$  میلی‌متر بوده‌اند. در پژوهش حاضر، از دستگاه HOUNSFIELD مدل KS استفاده شده است.

### ۳. روش ساخت نمونه‌ها و طرح اختلاط

نوع مصالح مصرفی، نسبت‌های اختلاط، نحوه ساخت، روشن ریختن کامپوزیت در قالب و نحوه عمل آوری از جمله عوامل تأثیرگذار در شکل پذیری ECC است. روش ساخت ECC وابسته به عوامل مختلفی از جمله: ترتیب اختلاط مصالح، مدت زمان اختلاط، سرعت دوران همزن و سرعت اضافه کردن الیاف است، که به شدت در کیفیت کامپوزیت ساخته شده تأثیرگذار هستند.

در پژوهش حاضر، به منظور ساخت کامپوزیت ECC، ابتدا تمام مواد پودری، شامل: سیمان، سرباره، پودر سنگ آهک، میکروسیلیس و پوزولان صنعتی به مدت یک دقیقه با سرعت ۷۰ دور بر دقیقه ترکیب شده‌اند. پس از یک دقیقه،  $\frac{1}{3}$  مخلوط آب و فوق روان‌کننده به مواد سیمانی اضافه و اختلاط به مدت دو دقیقه با سرعت ۱۴ دور بر دقیقه انجام شده است. سپس اختلاط مواد به مدت یک دقیقه با سرعت ۳۰ دور بر دقیقه ادامه یافته است. پس از اطمینان از اختلاط کامل مواد، الیاف در مدت ۱۵ دقیقه به ماتریس اضافه شده است. در هنگام افزودن الیاف در فاصل زمانی مناسب، آب با قیامانه طی  $۳ \times ۵$  مرحله به مخلوط اضافه و پس از هر مرحله اضافه کردن آب، سرعت همزن به مدت ۳۰ ثانیه به مدت ۳۰۰ دور بر دقیقه تغییر داده شده است. در پایان، پس از اضافه کردن تمام الیاف به مخلوط بتون، اختلاط به مدت یک دقیقه با سرعت ۳۰ دور بر دقیقه انجام شده است. در شکل ۱، ماتریس و مخلوط نهایی کامپوزیت سیمانی مهندسی شده مشاهده می‌شود. طرح اختلاط‌های کامپوزیت سیمانی مهندسی شده‌ی راوی الیاف پلی‌وینیل روی طرح اختلاط‌های کامپوزیت سیمانی مهندسی شده‌ی راوی الیاف به مخلوط بتون، الکل و همچنین نتایج تجربی حاصل از فعالیت‌های آزمایشگاهی بوده است. اجزاء تشکیل‌دهنده ECC در طرح اختلاط‌های مختلف، در جدول ۴ ارائه شده است. همان‌طور که ملاحظه می‌شود، میزان مواد سیمانی به کار رفته در تمامی طرح

تهیه شده است، که به عنوان اولین عرضه‌کننده ماسه‌ی سیلیسی در ایران شناخته می‌شود و منحصر به معادن بزرگ طبس است؛ از جمله مهم‌ترین خواص مکانیکی ماسه‌ی سیلیسی، مقاومت کششی و فشاری بالا، سختی فشاری مناسب، دانه‌بندی مناسب (۵۰ میکرومتر) و چگالی برابر با  $۲۶۰\text{ kg/m}^3$  است.

همچنین الیاف پلی پروپیلن به طول ۱۲ میلی‌متر از کارخانه‌ی نخ و گرانول سیرجان تهیه شده است. سایر مشخصات فیزیکی و مکانیکی الیاف استفاده شده در پژوهش حاضر، در جدول ۳ ارائه شده است.<sup>[۲۴]</sup> علاوه بر این، به منظور تأمین کارایی مناسب و کاهش تخلخل ECC از فوق روان‌کننده مذکور منطبق بر استاندارد عنوان ۵۱۱۰ Sika استفاده شده است. فوق روان‌کننده مذکور منطبق بر استاندارد ASTM C۴۹۴<sup>[۲۵]</sup> می‌باشد.

### ۲.۲. شرح آزمایش‌ها

#### ۱.۲.۲. آزمایش مقاومت فشاری

در پژوهش حاضر، به منظور انجام آزمایش مقاومت فشاری از جک هیدرولیکی با ظرفیت ۲۰۰۰ کیلونیوتون استفاده شده است. برای این منظور، ابتدا نمونه‌های مکعبی به ضلع ۱۰۰ میلی‌متر ساخته شده است. سپس نمونه‌ها به مدت ۷ و ۲۸ روز درون حوضچه‌ی آب و پس از پایان عمل آوری تحت بارگذاری با سرعت ۹۰۰ الی ۱۸۰۰ نیوتون بر ثانیه قرار گرفتند. لازم به ذکر است که آزمایش مقاومت فشاری براساس استاندارد C ۱۰۹ ASTM<sup>[۲۶]</sup> انجام شده است.

#### ۲.۲. آزمایش مقاومت خششی

به منظور سنجش مقاومت خشمی در پژوهش حاضر از دستگاه آزمایش خشم چهارنقطه‌ی به ظرفیت ۵۰ کیلونیوتون استفاده شده است. برای این منظور نمونه‌های منشوری شکل با ابعاد  $۳۵\text{ mm} \times ۱۰\text{ mm} \times ۴۰\text{ mm}$  میلی‌متر ساخته و پس از ۷ و ۲۸ روز عمل آوری تحت آزمایش خشم چهارنقطه‌ی مطابق استاندارد ۱۸۱۸ ASTM C<sup>[۲۷]</sup> قرار گرفتند. در آزمایش‌های مذکور نمونه‌ها بر روی دو تکیه‌گاه استوانه‌ی شکل با فاصله‌ی مرکز تا مرکز ۳۰۰ میلی‌متر و تحت بارگذاری به صورت تغییرمکان کنترل با سرعت ۱۰ میلی‌متر بر دقیقه قرار گرفتند. جهت ترسیم منحنی بار - تغییرمکان نمونه‌های خشمی، در تمامی نمونه‌ها از یک عدد LVDT در میانه‌ی طول نمونه استفاده شده است.

جدول ۴. طرح‌های اختلاط‌های مختلف ECC بررسی شده در پژوهش حاضر ( $\text{kg}/\text{m}^3$ ).

شماره‌ی طرح اختلاط	سیمان	ماسه	سرباره*	میکروسیلیس*	سنگ آهک	آب	الیاف PP	فوق روان‌کننده	پوزولان صنعتی*
(۱۰)(۵۱)	۴۶۵	-	(۶۰)(۶۸۸)	-	۵۱۶	۳۶۵	۱/۷۳	۸/۱	(۱۰)
-	۴۶۵	-	(۶۰)(۶۸۸)	(۱۰)(۵۱)	۵۱۶	۳۶۵	۱/۷۳	۸/۱	-
-	۴۶۵	-	(۶۱)(۷۳۹)	-	۵۱۶	۳۶۵	۱/۷۳	۹/۹	-
۴	۴۶۵	۵۱۶	(۶۰)(۶۸۸)	(۱۰)(۵۱)	-	۳۶۵	۱/۷۳	۱۱/۶	-
۵	۴۶۵	-	(۵۹)(۶۸۳)	(۱۲)(۶۹)	۴۸۸	۳۶۹	۱/۷۳	۶/۳	-
۶	۴۶۵	-	(۵۹)(۶۸۳)	-	۴۸۸	۳۶۹	۱/۷۳	۷/۳	(۱۳)(۶۹)
۷	۶۳۶	۴۶۲	(۵۰)(۶۳۶)	-	-	۳۸۵	۱/۷۳	۵/۵	-
۸	۵۰۹	۴۶۲	(۶۰)(۷۶۳)	-	-	۳۸۵	۱/۷۳	۵/۰	-
۹	۷۶۰	۸۱۱	-	-	-	۳۰۰	۱/۷۳	۳۴/۲	(۲۲)(۲۱۹)
۱۰	۳۸۲	۴۶۲	(۵۰)(۳۸۲)	-	-	۳۸۵	۱/۷۳	۷/۰	(۵۷)(۵۱۰)
۱۱	۴۳۰	۲۸۷	(۷۰)(۱۰۰۴)	-	-	۴۳۰	۱/۷۳	۱۷/۰	-
۱۲	۵۷۶	۴۵۶	(۵۵)(۶۹۱)	-	-	۳۸۵	۱/۷۳	۱۵/۳	-
۱۳	۹۶۹	۹۶۹	(۲۸)(۳۷۷)	(۱۰)(۱۰۲)	۲۱۹	۴۰۸	۱/۷۳	۱۲/۱	-

\* اعداد داخل پلنتر نشان دهنده‌ی درصد جایگزینی سرباره‌ی میکروسیلیس یا پوزولان صنعتی با سیمان است.



شکل ۲. نحوه‌ی ساخت پانل‌های ECC مسلح به بافته‌های شیشه.

ادامه، لایه‌ی دیگری از بافته‌ی شیشه درون قالب و بر روی ECC قرار گرفت و لایه‌ی دوم ECC به ضخامت ۵ میلی‌متر درون قالب ریخته شد. در پایان، آخرین لایه از بافته‌ی شیشه بر روی ECC قرار گرفت. باید به این نکته توجه داشت که پس از ریختن هر لایه از ECC، قالب ویره و سطح ECC با مalle صاف شده است. نحوه‌ی ساخت پانل‌های ECC مسلح شده با بافته‌های شیشه، در شکل ۲ مشاهده می‌شود.

## ۵. ساخت نمونه‌های کششی

در پژوهش حاضر، به منظور ساخت نمونه‌های کششی، از بهترین طرح اختلاط ECC (طرح اختلاط شماره‌ی ۱۳) استفاده شده است. به منظور بررسی رفتار ساخت شوندگی کرنشی نمونه‌های ECC، مقایسه‌ی نتایج و همچنین به دست آوردن منحنی تنش - کرنش ناشی از آزمایش کشش مستقیم، ۳ نمونه‌ی کششی مسلح به سه لایه‌ی بافته‌ی شیشه و ۳ نمونه‌ی کششی غیرمسلح ساخته شده است. نمونه‌های ساخته شده پس از ۲۸ روز عمل آوری در آب، تحت آزمایش کشش مستقیم قرار گرفتند. لازم به ذکر است که طریقه‌ی ساخت نمونه‌های کششی مسلح به بافته‌ی شیشه مشابه نمونه‌های خمشی بوده و در شکل ۳ نشان داده شده است.



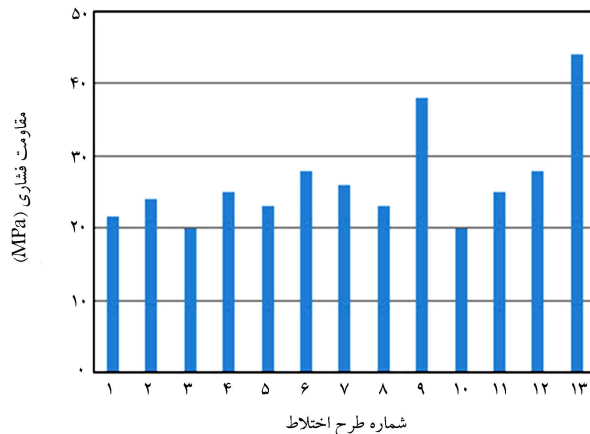
الف) قبل از اضافه شدن الیاف، ب) بعد از اضافه شدن الیاف.

شکل ۱. بافت کامپوزیت ECC در مراحل مختلف ساخت.

اختلاط‌ها، در بازه‌ی  $۸۸^{\circ}\text{C}$  تا  $۱۳۰^{\circ}\text{C}$  ۱ کیلوگرم بر مترمکعب بوده است. به منظور مقایسه‌ی هر چه دقیق‌تر نتایج، درصد الیاف به کار رفته در ماتریس بتن و همچنین سمت آب به مواد سیمانی در تمامی طرح اختلاط‌ها، یکسان و به ترتیب برابر با  $۱/۹$ % (به صورت حجمی) و  $۰/۳$  در نظر گرفته شده است. در پژوهش حاضر، از درصدهای مختلف پوزولان‌های سرباره، پوزولان صنعتی و میکروسیلیس، به منظور بررسی آثار آنها در خواص مکانیکی طرح اختلاط‌های مختلف ECC استفاده شده است. علاوه بر این از پودر سنگ آهک و ماسه‌ی سیلیسی، به عنوان پرکننده در طرح اختلاط‌ها استفاده شده است.

## ۴.۲. مسلح کردن ECC با بافته‌های شیشه

پس از دسترسی به بهترین طرح اختلاط ECC (طرح اختلاط شماره‌ی ۱۳)، تأثیر تسلیح پانل‌های ECC با استفاده از بافته‌ی شیشه در مقاومت خمشی بررسی شده است. برای این منظور، ۳ نمونه‌ی مسلح شده به سه لایه‌ی بافته‌ی شیشه، ۳ نمونه‌ی مسلح شده به یک لایه‌ی بافته‌ی شیشه و ۳ نمونه‌ی غیرمسلح ساخته و پس از گذشت ۷ روز عمل آوری در آب، تحت آزمایش خمسه چهار نقطه‌ی قرار گرفتند. برای ساخت پانل مسلح به سه لایه‌ی بافته‌ی شیشه، ابتدا یک لایه‌ی بافته‌ی شیشه در کف قالب قرار گرفت و ECC به ضخامت ۵ میلی‌متر درون قالب ریخته شد. در



شکل ۵. مقاومت فشاری طرح اختلاط‌های مختلف ECC در سن ۷ روزه.

با ۷٪ از سرباره در طرح اختلاط شماره‌ی ۳ و حضور هرکدام از دو پوزولان اخیر در کنار سیمان، به ترتیب باعث افزایش ۲۰ و ۱۱ درصدی مقاومت فشاری نمونه‌ها شده است، که به دلیل درصد بالای سیلیس موجود در میکروسیلیس و پوزولان صنعتی بوده است. از طرف دیگر، جایگزین کردن ۶۰٪ سرباره به جای سیمان، باعث کاهش ۱۱ درصدی مقاومت فشاری طرح اختلاط شماره‌ی ۸ نسبت به طرح اختلاط شماره‌ی ۷ شده است؛ که علت آن، جایگزینی بیش از ۵۰٪ مواد سیمانی با سرباره در طرح‌های اختلاط‌های مختلف است. به بیان دیگر، با کاهش میزان سیمان، میزان کلسیم هیدروکسید ناشی از هیدراسیون سیمان و به دنبال آن واکنش هیدراسیون ثانویه‌ی سرباره و کلسیم هیدروکسید کاهش یافته و منجر به افت مقاومت بتن شده است. علاوه بر این، با توجه به جدول ۵ مشاهده می‌شود که جایگزین کردن پوزولان صنعتی با میکروسیلیس، به میزان ۵/۵٪ مواد سیمانی، باعث افزایش ۲۲ درصدی مقاومت فشاری طرح اختلاط شماره‌ی ۶ نسبت به طرح اختلاط شماره‌ی ۵ شده است.

### ۳. نتایج آزمایشگاهی و بحث روی آنها

#### ۱.۳. نتایج مقاومت فشاری



شکل ۳. نحوه ساخت نمونه‌های کششی با بافته‌های شیشه.



شکل ۴. توانایی بالای ECC در فشرده شدن بدون وقوع جداشدگی کامل.

**۲. نتایج آزمایش خمس**  
**۱.۲.۳. مدلول گسیختگی**

منحنی بار - تغییرمکان نمونه‌های خمی در شکل ۶ مشاهده می‌شود. با استفاده از نتایج به دست آمده از آزمایش خمس چهارنقطه‌یی، اطلاعاتی نظری مدلول گسیختگی، تنش ترک خودرگی، بار ترک خودرگی و بیشینه و تغییرشکل متناظر با بار بیشینه برای طرح اختلاط‌های مختلف در سن ۷ روزه اندمازه‌گیری و در جدول ۵ ارائه شده است؛ که مطابق آن، جایگزین کردن ۷٪ میکروسیلیس به جای سرباره، سبب کاهش ۲۳ درصدی مدلول گسیختگی طرح اختلاط شماره‌ی ۲ نسبت به طرح اختلاط شماره‌ی ۳ شده است. از طرف دیگر، جایگزین کردن میکروسیلیس با پوزولان صنعتی باعث افزایش مدلول گسیختگی به میزان ۷۹٪ شده است. لازم به ذکر است که جایگزینی پودر سنگ آهک با ماسه‌ی سیلیسی، تأثیر چندانی در مدلول گسیختگی نداشته است، ولی افزایش وزن مخصوص ECC را به دنبال داشته است. در طرح اختلاط‌های شماره‌های ۷ و ۸، به ترتیب از ۵۵ و ۶۰ درصد سرباره به جای سیمان استفاده شده است. مطابق نتایج آزمایشگاهی مشاهده می‌شود که جایگزینی ۶۰٪ از سیمان با سرباره، منجر به کاهش ۲۲ درصدی مدلول گسیختگی شده است. این پدیده به دلیل آن است که سرباره به تنها ی خاصیت چسبندگی ندارد و زمانی که در کنار سیمان قرار می‌گیرد، سیمان با ایجاد محیط قلیاً فعال، باعث فعال شدن سرباره‌ها و در نتیجه ایجاد چسبندگی می‌شود.

در شکل ۵ مشاهده می‌شود.

با توجه به نتایج مقاومت فشاری حاصل از طرح اختلاط‌های شماره‌های ۱، ۲ و ۳ می‌توان نتیجه گرفت که جایگزین کردن میکروسیلیس و یا پوزولان صنعتی در پژوهش حاضر، روانی ECC با استفاده از آزمایش میز جریان، مطابق با استاندارد ASTM C ۱۴۳۷<sup>[۲۸]</sup> اندازه‌گیری شده است. به منظور پراکندگی کامل و مناسب الیاف در ماتریس، نیاز به روانی بیش از ۱۷۰ میلی‌متر در آزمایش روانی است. در پژوهش حاضر، سعی بر آن بوده است که مقدار روانی برای تمامی طرح اختلاط‌های ECC تقریباً ثابت و بین ۱۸۰ تا ۲۰۰ میلی‌متر در نظر گرفته شود. دقت به این نکته ضروری است که افزایش بیش از حد فوق روانکننده، باعث ایجاد تخلخل و حفره بر سطح ECC و نیز کاهش میزان فوق روانکننده منجر به کاهش روانی ECC می‌شود. اگر روانی ECC کافی نباشد، به دلیل اینکه حباب‌های هوا توانایی خروج از کامپوزیت را ندارند، عمل خروج هوا با دشواری انجام می‌پذیرد.<sup>[۲۹]</sup> شکست کامپوزیت‌های سیمانی مهندسی شده در فشار برخلاف سایر مواد سیمانی، بسیار نرم است و برخلاف بتن معمولی و بتن با مقاومت بالا، جداشدگی یا پرتاب ذرات بتن در حین گسیختگی اتفاق نمی‌افتد. در پژوهش حاضر مشاهده شده است که نمونه‌های مکعبی قادرند تا  $\frac{1}{6}$  بعد خود فشرده شوند، بدون آنکه ذره‌یی از آنها جدا و پرتاب شوند (شکل ۴)، که این امر به دلیل وجود الیاف در بتن ECC بوده است. اگرچه مقاومت فشاری بتن ECC تفاوت زیادی با سایر بتن‌های الیافی ندارد، اما دارای جذب انرژی به مراتب بیشتر و رفتاری نرم‌تر است؛ که علت آن ایجاد ترک‌های ریز با فوائل بسیار کم در سطح بتن در ساخته شده در پژوهش حاضر است. مقاومت فشاری ۷ روزه‌ی طرح اختلاط‌های ساخته شده در پژوهش حاضر در شکل ۵ مشاهده می‌شود.

با توجه به نتایج مقاومت فشاری حاصل از طرح اختلاط‌های شماره‌های ۱، ۲ و ۳ می‌توان نتیجه گرفت که جایگزین کردن میکروسیلیس و یا پوزولان صنعتی

جدول ۵. نتایج به دست آمده از آزمایش خمس چهارنقطه‌بی طرح‌های اختلاط‌های مختلف ECC در سن ۷ روز.

I <sub>۱</sub>	I <sub>۲</sub>	I <sub>۳</sub>	I <sub>۴</sub>	E <sub>u</sub> (N/mm)	E <sub>max</sub> (N/mm)	E <sub>t</sub> (N/mm)	تغییر شکل متناظر با بار بیشینه (mm)	بار ترک بیشینه (N)	خوردگی ترک خوردگی (MPa)	تشنج ترک (MPa)	مدول گیسینگی (MPa)	مقاومت فشاری (MPa)	شماره طرح اختلاط
۱۶/۵	۱۰/۴	۵/۱	۲/۸	۱۶۸۴۱	۱۳۰۴۴	۵۸۴	۶/۴	۲۳۴۰	۱۹۵۰	۳/۶	۴/۸۵	۲۱/۵	۱
۲۹	۱۷/۱	۸/۴	۴/۰	۲۲۴۶۶	۱۳۷۴۲	۱۱۹۰	۹/۰	۱۸۱۰	۱۳۶۰	۲/۵۵	۳/۷۵	۲۴	۲
۱۵/۵	۱۰/۰	۲/۹	۲/۵	۱۹۹۸۲	۱۴۷۲۰	۴۸۸	۷/۰	۲۳۷۰	۱۸۵۰	۲/۴۷	۴/۹	۲۰	۳
۲۷/۲	۱۴/۵	۷/۶	۳/۸	۳۲۴۱۱	۲۰۸۲۸	۶۳۵	۱۰/۷	۲۰۵۰	۲۰۰۰	۳/۷۵	۴/۲۳	۲۵	۴
۱۵	۱۰/۱	۶/۱	۲/۰	۱۳۴۴۰	۱۰۵۴۵	۲۵۳	۳/۴	۱۵۳۰	۱۳۳۰	۲/۵	۳/۱۵	۲۳	۵
۱۴/۳	۹/۷	۵/۰	۲/۷	۱۹۱۴۱	۱۳۹۳۲	۱۵۶	۵/۶	۲۷۴۰	۲۶۴۰	۴/۹۵	۵/۶۵	۲۷	۶
۱۷/۴	۱۱/۰	۵/۴	۳/۰	۲۷۲۱۷	۱۴۱۱۴	۶۶۷	۵/۹	۲۸۲۰	۲۶۵۰	۴/۹۷	۵/۸۳	۲۶	۷
۱۴/۲	۹/۴	۴/۸	۲/۵	۱۳۸۲۳	۶۹۷	۶۹۷	۰/۴	۲۳۰۰	۲۳۰۰	۴/۳	۴/۷۵	۲۳	۸
۲۳	۱۴/۲	۷/۰	۳/۶	۲۶۷۵۹	۲۲۱۳۷	۶۵۴	۹/۶	۲۷۵۰	۱۹۹۰	۳/۷۵	۵/۷	۳۸	۹
۱۷/۱	۱۱/۰	۵/۴	۲/۸	۲۰۰۳۵	۱۶۲۳۳	۲۳۰	۱۰/۴	۱۷۵۰	۱۴۷۰	۲/۷۵	۳/۶	۲۰	۱۰
۲۹/۸	۱۷/۴	۸/۱	۲/۹	۲۳۱۸۵	۱۹۲۸۶	۷۶۹	۹/۹	۲۳۰۰	۲۰۱۰	۳/۷۶	۴/۷۵	۲۵	۱۱
۱۷/۱	۱۱/۱	۵/۵	۳/۱	۲۲۷۲۹	۱۹۳۰۲	۴۸۳	۷/۹	۲۸۱۰	۲۲۱۰	۴/۱۵	۵/۸	۲۸	۱۲
۱۴/۴	۹/۴	۴/۹	۲/۷	۲۲۶۴۳	۱۷۹۰۷	۵۹۲	۷/۴	۲۹۰۰	۲۵۱۰	۴/۷	۴۴	۱۳	

به طرح اختلاط شماره ۷ (جایگزینی ۵۰٪ از سیمان با سرباره) کاهش داده است.

### ۳.۲.۳ شاخص‌های طاقت

استاندارد ASTM C ۱۰۱۸ [۲۶] به منظور بررسی شکل‌پذیری نمونه‌ی بتونی از شاخص‌های طاقت ( $I_{۲۰}$ ,  $I_{۱۰}$ ,  $I_5$ ) استفاده می‌کند. هر چه سطح زیر نوادرار پار - تغییرمکان بیشتر باشد، در نتیجه مقدار اندیس‌های طاقت نیز بزرگ‌تر می‌شود. که باعث افزایش شکل‌پذیری و میران جذب انرژی نمونه‌ها می‌شود. به طور کلی از  $I_n$  نسبت سطح زیر نوادرار پار - تغییرمکان تا  $\frac{1}{n}$  برابر تغییرمکان اولین ترک خوردگی، به سطح زیر منحنی مذکور تا اولین ترک خوردگی محاسبه می‌شود. اندیس‌های طاقت محاسبه شده برای طرح‌های اختلاط‌های مختلف ECC در سن ۷ روزه، در جدول ۵ ارائه شده است.

در پژوهش حاضر، طرح اختلاط‌های ۱۱ و ۴ به ترتیب دارای بیشترین مقادیر شاخص‌های طاقت نسبت به سایر طرح اختلاط‌ها بوده‌اند، که پدیده‌ی اخیر به دلیل اتصال مناسب الیاف با ماتریس و ترکیب‌های سیمانی استفاده شده در طرح اختلاط‌های مذکور است. با توجه به جدول ۵ مشاهده می‌شود که جایگزینی ۷٪ از سرباره با میکروسیلیس در طرح اختلاط شماره‌ی ۲، باعث افزایش شاخص طاقت  $I_{۲۰}$  به میران ۸/۷٪ نسبت به طرح اختلاط شماره‌ی ۳ شده است. از طرف دیگر، جایگزین کردن پودر سنگ آهک با ماسه‌ی سیلیسی (طرح اختلاط‌های شماره‌ی ۲ و ۴)، باعث کاهش شاخص طاقت  $I_{۲۰}$  به میران ۶/۶٪ شده است. همچنین با توجه به طرح اختلاط‌های شماره‌های ۷ و ۸ می‌توان نتیجه گرفت که جایگزین کردن ۶۰٪ سیمان با سرباره، سبب کاهش ۱۸ درصدی شاخص طاقت  $I_{۲۰}$  شده است.

### ۳.۳ مقایسه‌ی دو طرح اختلاط منتخب ECC

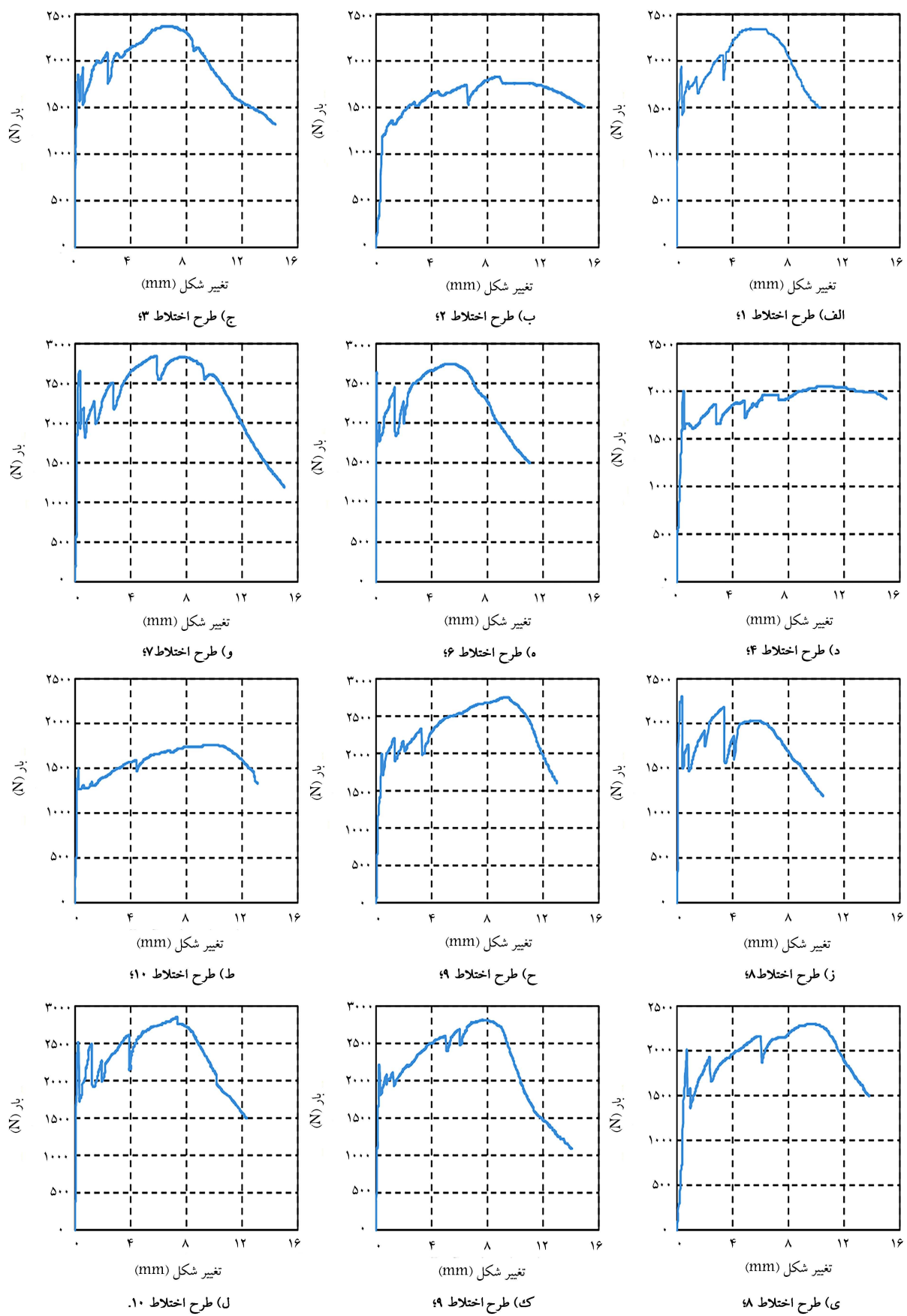
در بخش کنونی، دو طرح اختلاط منتخب ECC مقایسه و در نهایت، بهترین طرح اختلاط به منظور تسلیح با فته‌های شیشه انتخاب شده است. جایگزینی به ترتیب

در طرح اختلاط شماره ۸، کاهش میران سیمان و افزایش سرباره سبب شده است که محیط قلیاً فعال ایجاد شده توسط سیمان، نتواند باعث فعال شدن تمامی مقادیر سرباره‌ی به کار برد شده در طرح اختلاط شماره ۸ شود. با توجه به طرح اختلاط‌های مختلف ساخته شده، درصد بهینه‌ی میکروسیلیس و سرباره به ازاء نسبت‌های آب به سیمان ۰/۳ تا ۰/۴، به ترتیب برابر ۱۵ و ۵ درصد بوده است.

### ۲.۲.۳ انرژی جذب شده

مقادیر انرژی جذب شده توسط نمونه‌های ECC با استفاده از سطح زیر منحنی پار - تغییرمکان تا نقطه‌ی مورد نظر محاسبه می‌شود. در پژوهش حاضر، میران جذب انرژی طرح اختلاط‌های مختلف در سن ۷ روزه تا نقطه‌ی ترک خوردگی ( $E_t$ )، پار بیشینه (E<sub>u</sub>) و نقطه‌ی نهایی (E<sub>max</sub>) محاسبه و در جدول ۵ ارائه شده است. لازم به ذکر است که نقطه‌ی نهایی، نقطه‌ی با ۸۵٪ بار بیشینه در شاخه‌ی نزولی منحنی پار - تغییرمکان بوده است.

با توجه به نتایج به دست آمده از آزمایش خمس چهارنقطه‌بی، می‌توان نتیجه گرفت که بتن ECC قابلیت جذب انرژی بیشتری نسبت به سایر بتن‌های الیافی دارد. با توجه به طرح اختلاط‌های شماره‌های ۲ و ۴ مشاهده می‌شود که جایگزینی پودر سنگ آهک با ماسه‌ی سیلیسی منجر به افزایش ۳۹ درصدی انرژی جذب شده‌ی نهایی طرح اختلاط شماره‌ی ۴ نسبت به طرح اختلاط شماره‌ی ۲ شده است. از طرف دیگر، جایگزین کردن ۷٪ از سرباره با میکروسیلیس، باعث افزایش ۱۶ درصدی انرژی جذب شده‌ی نهایی طرح اختلاط شماره‌ی ۲ نسبت به طرح اختلاط شماره‌ی ۳ شده است. لازم به ذکر است که استفاده از پوزولان صنعتی به جای میکروسیلیس در طرح اختلاط شماره‌ی ۶، افزایش ۴۲ درصدی انرژی جذب شده‌ی نهایی نسبت به طرح اختلاط شماره‌ی ۵ را به دنبال داشته است. مطابق با جدول ۴، در طرح اختلاط‌های ۷ و ۸، به ترتیب از ۵۰ و ۶۰ درصد سرباره به جای سیمان استفاده شده است. نتایج آزمایشگاهی نشان می‌دهد که جایگزین کردن ۶۰٪ سیمان با سرباره، انرژی جذب شده‌ی نهایی را به میران ۴۹٪ نسبت



شکل ۶. منحنی بار - تغییرمکان تیرهای منشوری خمی برای طرح‌های اختلاط‌های مختلف ECC.

جدول ۶. نتایج به دست آمده از آزمایش خمس چهارنقطه‌بی پانل‌های ECC غیرمسلح و مسلح به بافت‌های شیشه.

پانل	تعداد لایه‌های بافت‌های شیشه	مدول گسیختگی ترک خوردنگی	تش	بار بار	تغییرشکل	مدول	تنش	بار بار	متناظر بار	بافت‌های شیشه	
										E <sub>u</sub>	E <sub>max</sub>
										(N/mm)	(N/mm)
ECC - ۰	۰	۷/۲	۴/۸	۲۴۰	۱۶۰	۴۷۷۷	۳۶۹	۱۹/۷	۵/۳	۲/۵۵	۱۱/۵
ECC - ۱	۱	۱۸/۳	۷/۸	۲۶۰	۶۱۰	۸۸۲۰	۸۴۱۲	۱۹	۶/۸۵	۳/۳۵	۱۵/۰
ECC - ۳	۳	۲۷/۰	۱۰/۲	۲۴۰	۹۰۰	۱۱۲۰	۱۰۱۳۴	۱۶/۴	۸/۶۵	۳/۸۸	۲۰/۸



شکل ۷. پانل ECC مسلح شده به بافت‌های شیشه تحت آزمایش خمس.

#### ۴.۳. نتایج آزمایش خمس برای پانل‌های ECC مسلح به بافت‌های شیشه

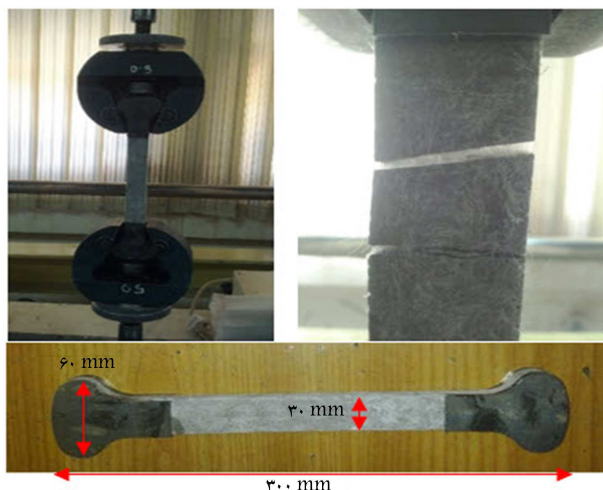
در پژوهش حاضر، برای نخستین بار از بافت‌های شیشه به منظور مسلح کردن بتن ECC استفاده شده است. از جمله مزیت‌های پانل‌های مذکور می‌توان به مقاومت‌های خمشی و کششی مناسب، کرنش کششی بیشتر از ۱٪، شکست نرم، شکل‌پذیری بالا و مقاومت مناسب در برابر محیط‌های سولفاتی و کلربیدی اشاره کرد. به منظور ساخت پانل‌های ECC مسلح شده به بافت‌های شیشه، از بهترین طرح اختلاط پژوهش حاضر شماره‌ی ۱۳ استفاده شده است. ابعاد پانل‌های ECC ساخته شده جهت انجام آزمایش خمس چهارنقطه‌بی برابر با  $100 \times 350 \times 10$  میلی‌متر بوده است. در پژوهش حاضر، به منظور مقایسه‌ی نتایج، از پانل‌های ECC مسلح شده به ۱ و ۳ لایه بافت‌های شیشه استفاده و نتایج حاصل از آن، با پانل‌های ECC غیرمسلح مقایسه شده است. تصویری از پانل ECC مسلح شده به بافت‌های شیشه، تحت آزمایش خمس چهارنقطه‌بی، در شکل ۷ مشاهده می‌شود. منحنی‌های بار-تغییرمکان حاصل از آزمایش خمس چهارنقطه‌بی، مربوط به پانل‌های ECC مسلح و غیرمسلح در شکل ۸ مشاهده می‌شود. علاوه بر این، نتایج به دست آمده از آزمایش خمس چهارنقطه‌بی پانل‌ها، شامل: مدول گسیختگی، تنش اولین ترک خوردنگی، بار بیشینه، ازرسی‌های جذب شده و شاخص‌های طاقت در جدول ۶ ارائه شده است. با توجه به جدول ۶ مشاهده می‌شود که مدول گسیختگی پانل ECC-۳، از مدول گسیختگی پانل‌های ECC-۱ و ECC-۰ به ترتیب  $47/5$  و  $275$  درصد بیشتر است. همچنین مقدار تنش ترک خوردنگی در پانل ECC-۳، از مقادیر تنش ایجاد شده در پانل‌های ECC-۱ و ECC-۰ به ترتیب  $۳۰$  و  $۱۱۲$  درصد بیشتر بوده است. از طرف دیگر، نتایج نشان می‌دهند که افزایش تعداد لایه‌های بافت‌های شیشه، باعث کاهش تغییرشکل متناظر با بیشینه‌ی نیرو در پانل‌های ECC مسلح

و  $۱۰$  درصد سیمان با سرباره و میکروسیلیس و استفاده از مقدار بیشینه‌ی پودر سنگ آهک، باعث ساخت کامپوزیتی با مقاومت فشاری بالا، شکل‌پذیری عالی و رفتار سخت‌شوندگی کرنشی مناسب در کنار سایر خواص مکانیکی قابل قبول در طرح اختلاط شماره‌ی ۱۳ شده است. همچنین جایگزین کردن  $۲۲\%$  سیمان با پوزولان صنعتی و استفاده از ماسه‌ی سیلیسی، باعث ساخت کامپوزیتی با شکل‌پذیری بالا و مقاومت فشاری و خمشی مناسب در طرح اختلاط شماره‌ی ۹ شده است. لازم به ذکر است که میزان مصرف فوق روان‌کننده در طرح اختلاط شماره‌ی ۹ به میزان  $۱۶\%$  بیشتر از طرح اختلاط شماره‌ی ۱۳ بوده است.

نتایج به دست آمده از آزمایش مقاومت فشاری نشان می‌دهد که مقاومت فشاری  $۲۸$  روزه‌ی طرح اختلاط‌های شماره‌های  $۹$  و  $۱۳$  به ترتیب برابر با  $۵۰$  و  $۵۶$  مگاپاسکال بوده است. به عبارت دیگر، مقاومت فشاری طرح اختلاط شماره‌ی  $۱۳$  در سینه  $۷$  و  $۲۸$  روز، به ترتیب  $۱۶$  و  $۱۲$  درصد بیشتر از طرح اختلاط شماره‌ی  $۹$  بوده است. این اختلاف مقاومت به دلیل مواد سیمانی بیشتر در طرح اختلاط شماره‌ی  $۱۳$  بوده است.

نتایج به دست آمده از آزمایش خمس چهارنقطه‌بی، نشان‌دهنده‌ی رفتار سخت‌شوندگی کرنشی برای هر دو طرح اختلاط منتخب در سن  $7$  روز است، که در شکل  $6$  مشاهده می‌شود. نیروی اولین ترک نمونه‌ی خمشی طرح اختلاط شماره‌ی  $۱۳$  در مقایسه با طرح اختلاط شماره‌ی  $9$ ، به میزان  $۲۶\%$  بیشتر بوده است؛ که این پدیده به دلیل میزان بالای مواد سیمانی و نسبت صحیح اجراء تشکیل‌دهنده‌ی طرح اختلاط شماره‌ی  $۱۳$  بوده است. به دلیل شکل‌پذیری بالای طرح اختلاط شماره‌ی  $9$ ، سطح زیر منحنی بار-تغییرمکان آن تا بار بیشینه، به میزان  $۱۸\%$  بیشتر از مقدار مشابه در طرح اختلاط شماره‌ی  $۱۳$  بوده است. لازم به ذکر است که تغییرشکل متناظر با بیشینه‌ی نیرو در طرح اختلاط شماره‌ی  $9$ ،  $۳۰\%$  بیشتر از طرح اختلاط شماره‌ی  $۱۳$  بوده است.

مطابق جدول ۵ مشاهده می‌شود که ظرفیت برابری طرح اختلاط شماره‌ی  $۱۳$  بیشتر از طرح اختلاط شماره‌ی  $9$  بوده است. به بیان دیگر، نتایج آزمایشگاهی نشان می‌دهند که مدول گسیختگی طرح اختلاط شماره‌ی  $13$  به میزان  $۱۳\%$  بیشتر از طرح اختلاط شماره‌ی  $9$  بوده است. این در حالی است که ازرسی‌های جذب شده توسعه نمونه‌ی ساخته شده با طرح اختلاط شماره‌ی  $9$  در لحظه‌های اولین ترک خوردنگی، بار بیشینه و بار نهایی، به ترتیب به میزان  $۱۰$ ،  $۲۳$  و  $۱۸$  درصد نسبت به مقادیر مشابه در طرح اختلاط شماره‌ی  $13$  بیشتر بوده است؛ این پدیده به علت شکل‌پذیری بالاتر طرح اختلاط شماره‌ی  $9$  نسبت به طرح اختلاط شماره‌ی  $13$  بوده است. با توجه به مقایسه‌ی نتایج دو طرح اختلاط منتخب و همچنین غیراقتصادی بودن طرح اختلاط شماره‌ی  $9$  به دلیل مصرف زیاد فوق روان‌کننده و قیمت بالای پوزولان صنعتی، طرح اختلاط شماره‌ی  $13$  به منظور مسلح شدن با بافت‌های شیشه در نظر گرفته شد.



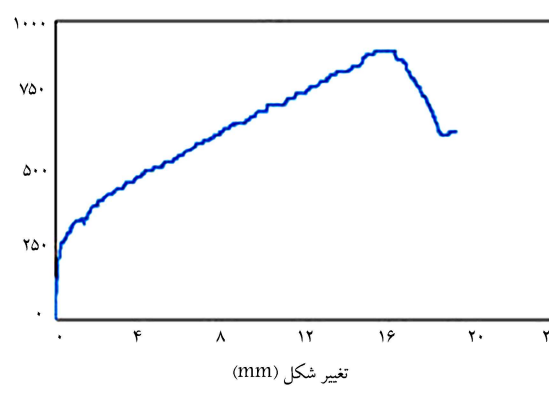
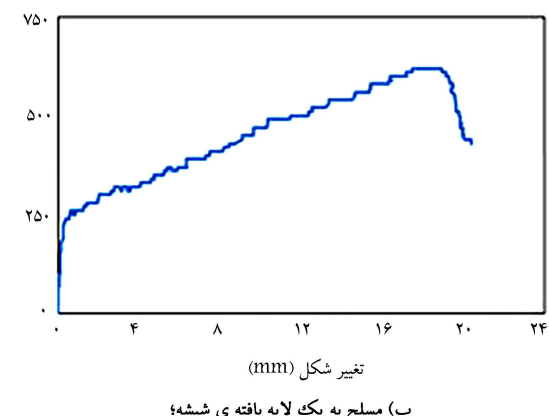
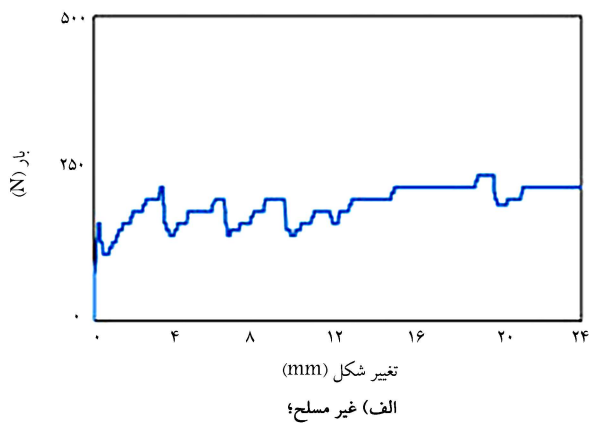
شکل ۹. پانل ECC مسلح شده به بافته‌های شیشه تحت آزمایش کشش مستقیم.

مقاومت کششی بالایی دارد. مطابق جدول ۶، شاخص‌های طاقت  $I_5$ ،  $I_{10}$  و  $I_{20}$  برای پانل ECC-۳ به ترتیب به میزان ۵۲، ۶۳ و ۸۱ درصد بیشتر از مقادیر مشابه برای پانل ECC-۰ بوده است. به عبارت دیگر، با افزایش مقاومت خمشی پانل‌ها، سطح زیر نمودار بار - تغییرمکان افزایش و به دنبال آن شاخص‌های طاقت افزایش بافته‌اند. لازم به ذکر است که افزایش شاخص‌های طاقت، نشان‌دهنده افزایش شکل پذیری پانل‌هاست، که به دلیل مقاومت کششی بالای بافته‌های شیشه است، که استفاده از آن در پانل‌های ECC، منجر به افزایش شاخص‌های طاقت، میزان جذب انرژی و شکل پذیری پانل‌ها می‌شود.

### ۵.۳. نتایج آزمایش کشش مستقیم پانل‌های ECC مسلح به بافته‌های شیشه

کامپوزیت‌های سیمانی مهندسی شده، دو ویژگی شاخص بسیار مهم دارند، که ECC را نسبت به سایر بنابراین های متمایز می‌سازد؛ این دو ویژگی شاخص عبارت‌انداز رفتارهای سخت‌شوندگی کرنشی و کرنش کششی بیشتر از ۱٪ در پژوهش حاضر، به منظور بررسی رفتار سخت‌شوندگی کرنشی و کرشن کششی ایجاد شده در ECC. به ترتیب از آزمایش خمس چهار نقطه‌ی و کشش مستقیم استفاده شده است. در آزمایش کشش مستقیم، به منظور ثبت صحیح اطلاعات و جلوگیری از ایجاد تمکر تنش در بالا و پایین نمونه‌های کششی و همچنین جلوگیری از سرخورد نمونه در دستگاه کشش مستقیم، صفحه‌های فولادی به ضخامت ۲ میلی‌متر به دو وجه قسمت‌های انتهایی نمونه چسبانده شده است. تصویری از پانل ECC مسلح به بافته‌ی شیشه تحت آزمایش کشش مستقیم در شکل ۹ مشاهده می‌شود. منحنی تنش - کرشن پانل ECC غیرمسلح و مسلح به ۳ لایه‌ی بافته‌ی شیشه، نیز در شکل ۱۰ مشاهده می‌شود.

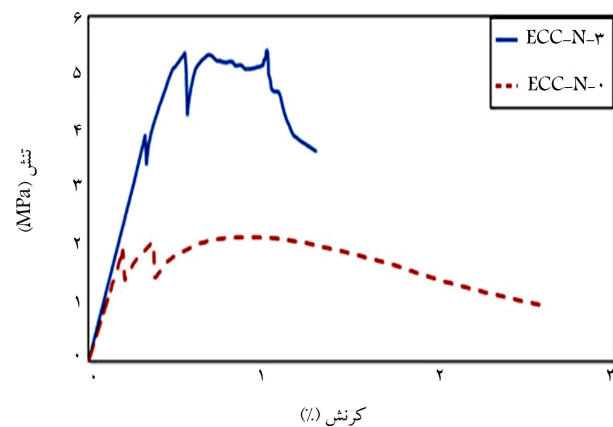
با توجه به شکل ۱۰ مشاهده می‌شود که کرشن کششی نمونه‌های ECC مسلح و غیرمسلح، در لحظه‌ی تنش کششی بیشینه، بیشتر از ۱٪ و همچنین شیب هر دو نمودار تا قبل از ایجاد اولین ترک خوردنگی با هم برابر بوده است. به علاوه، رفتار سخت‌شوندگی کرنشی برای پانل‌های ECC-N-۰ و ECC-N-۳ مشاهده می‌شود. تنش کششی بیشینه و کرشن کششی متناظر با آن برای پانل ECC-N-۳ که به بافته‌های شیشه مسلح شده است، به ترتیب برابر  $5/4$  مگاپاسکال و  $1/02$ ٪ بوده است. این مقادیر برای پانلی که قادر بافته‌های شیشه است، به ترتیب برابر  $2/16$  و  $ECC-0$  بوده است. این افزایش به دلیل استفاده از بافته‌های شیشه است، که



شکل ۱۰. نمودار بار - تغییرمکان پانل‌های ECC.

شده است. به عبارت دیگر، تغییرشکل متناظر با بیشینه‌ی نیرو در پانل ECC-۰ از تغییرشکل متناظر با بیشینه‌ی نیرو در پانل‌های ECC-۱ و ECC-۳ بیشتر بوده است. لازم به ذکر است که به علت شکل پذیری بالای پانل ECC-۰، گسیختگی در پانل اتفاق نیافتداده است؛ اما ریزترک‌هایی در ناحیه وسط نمونه‌ی خمشی مشاهده می‌شود.

براساس نتایج آزمایشگاهی مشاهده می‌شود که افزایش تعداد لایه‌های بافته‌ی شیشه منجر به افزایش ظرفیت باربری، سطح زیر نمودار بار - تغییرمکان و همچنین مقادیر انرژی جذب شده توسط پانل‌های ECC مسلح شده به بافته‌های شیشه شده است. به عنوان مثال، مقادیر انرژی جذب شده در بار بیشینه و بار نهایی توسط پانل ECC-۳، به ترتیب  $176$  و  $134$  درصد بیشتر از مقادیر مشابه در پانل ECC-۰ بوده است. این افزایش به دلیل استفاده از بافته‌های شیشه است، که



شکل ۱۰. منحنی تنش - کرنش کششی پانل‌های ECC مسلح و غیرمسلح.

مگاباسکال و ۱٪ بوده است. لازم به ذکر است که استفاده از بافته‌های شیشه، باعث افزایش تنش کششی بیشینه نمونه ECC-N-۳ به میزان ۱۵۰٪ نسبت به پانل ECC-N-۰ شده است. این در حالی است که مقادیر کرنش کششی متضاد را تنش کششی بیشینه در نمونه‌های ECC-N-۳ و ECC-N-۰ تقریباً برابر حدود ۱٪ بوده است.

#### ۴. نتیجه‌گیری

در پژوهش حاضر، به منظور تولید کامپوزیت سیمانی مهندسی شده با استفاده از مصالح داخلی در دسترس با خواص مکانیکی مناسب، طرح اختلاط مختلف ساخته شده است. پس از انجام آزمایش مقاومت‌های فشاری و خمشی، نتایج به دست آمده با یکدیگر مقایسه و بهترین طرح اختلاط به منظور تسليح با استفاده از بافته‌های شیشه انتخاب شده است. در نهایت پانل‌های مسلح و غیرمسلح تحت آزمایش خمش چهار نقطه‌یی و کشش مستقیم قرار گرفتند. در ادامه، برخی از نتایج پژوهش حاضر ارائه شده است:

#### پانوشت

#### 1. Engineered Cementitious Composites

#### منابع (References)

- Shoji, D., He, Z., Zhang, D. and et al., 2022. The greening of engineered cementitious composites (ECC): A review. *Construction and Building Materials*, 327, p.126701.
- Li, V.C., Fischer, G. and Lepech, M.D., 2004. Crack-resistant concrete material for transportation construction. In *Proceedings of the Transportation Research Board 83rd Annual Meeting*.
- Turk, K. and Nehdi, M.L., 2021. Flexural toughness of sustainable ECC with high-volume substitution of cement and silica sand. *Construction and Building Materials*, 270, p.121438.
- Li, V.C., Fischer, G., Kim, Y.Y. and et al., 2003. Durable link slabs for jointless bridge decks based on strain-hardening cementitious composites. Report for Michigan Department of Transportation RC-1438.
- Li, V.C., 2008. *Engineered cementitious composites (ECC) material, structural, and durability performance*. Concrete Construction Engineering Handbook, Chapter 24, Ed. E. Nawy, CRC Press.
- Li, M., Sahmaran, M. and Li, V.C., 2007. Effect of cracking and healing on durability of engineered cementitious composites under marine environment. *High Per-*

- formance Fiber Reinforced Cement Composites Conference (HPFRCC5)*, pp.313-322.
7. Ma, Z., Liu, M., Tang, Q. and et al., 2020. Chloride permeability of recycled aggregate concrete under the coupling effect of freezing-thawing, elevated temperature or mechanical damage. *Construction and Building Materials*, 237, p.117648.
  8. Lepech, M.D., Li, V.C., Robertson, R.E. and et al., 2008. Design of green engineered cementitious composites for improved sustainability. *ACI Materials Journal*, 105(6), pp.567-575.
  9. Kanda, T., Zhong, L.Z. and Li, V.C., 2000. Tensile stress-strain modeling of pseudo strain hardening cementitious composite. *Journal of Materials in Civil Engineering*, 12(2), pp.147-156.
  10. Yoo, D.Y., Oh, T., Kang, M.C. and et al., 2021. Enhanced tensile ductility and sustainability of high-strength strain-hardening cementitious composites using waste cement kiln dust and oxidized polyethylene fibers. *Cement and Concrete Composites*, 120, p.104030.
  11. Sharbatdar, M.K. and Tajari, A., 2021. Experimental in-plane seismic strengthening of masonry infilled reinforced concrete frames by engineered cementitious composites (ECC). *Construction and Building Materials*, 293, p.123529.
  12. Sharbatdar, M.K. and Tajari, A. 2021. Engineered cementitious composites effects on seismic strengthening of non-ductile RC frames with masonry infills. *Sharif Journal of Civil Engineering*, 37.2(1.2), pp.25-37.
  13. Hajiaghamemar, M., Mostofinejad, D. and Bahmani, H., 2022. High volume of slag and PP fibers in engineered cementitious composites (ECC): microstructure and mechanical properties. *Magazine of Concrete Research*, pp.1-44.
  14. Wang, Q., Lai, M.H., Zhang, J. and et al., 2020. Greener engineered cementitious composite (ECC)- the use of pozzolanic fillers and unoiled PVA fibers. *Construction and Building Materials*, 247, p.118211.
  15. Pan, Z., Wu, C., Liu, J. and et al., 2015. Study on mechanical properties of cost-effective poly vinyl alcohol engineered cementitious composites (PVA-ECC). *Construction and Building Materials*, 78, pp.397-404.
  16. Zhang, S., Li, V.C. and Ye, G., 2020. Micromechanics-guided development of a slag/fly ash-based strain-hardening geopolymer composite. *Cement and Concrete Composites*, 109, p.103510.
  17. Termkhajornkit, P., Nawa, T., Yamashiro, Y. and et al., 2009. Self-healing ability of fly ash-cement systems. *Cement and Concrete Composites*, 31(3), pp.198-203.
  18. Yang, E.H., Yang, Y. and Li, V.C., 2007. Use of high volumes of fly ash to improve ECC mechanical properties and material greenness. *ACI Materials Journal*, 104(6), pp.620-628.
  19. ASTM C150./C150M, 2022. Standard specification for Portland cement. ASTM International, West Conshohocken, PA, USA.
  20. <http://www.ardestancement.com/>.
  21. <https://www.esfahansteel.com/>.
  22. ASTM C1240., 2020. Standard specification for silica fume used in cementitious mixtures. ASTM International, West Conshohocken, PA, USA.
  23. <http://www.impasco.gov.ir/>.
  24. ASTM, C494., 2008. Standard specification for chemical admixtures for concrete. ASTM International, West Conshohocken, PA, USA.
  25. ASTM C109., 2007. Standard test method for compressive strength of hydraulic cement mortars (Using 2-in. or [50-mm] Cube Specimens). ASTM International, West Conshohocken, PA.
  26. ASTM C1018., 2017. Standard test for flexural toughness and first-crack strength of fiber reinforced concrete (Using Beam with third-point loading). ASTM International, West Conshohocken, PA, USA.
  27. ASTM D3039., 2014. Standard test method for tensile properties of polymer matrix composite materials. ASTM International, West Conshohocken, PA, USA.
  28. ASTM C1437., 2020. Standard test method for flow of hydraulic cement mortar. ASTM International, West Conshohocken, PA, USA.
  29. Saucier, F., Pigeon, M. and Plante, P., 1990. Air-void stability, part III: Field tests of superplasticized concretes. *Materilas Journal*, 87(1), pp.3-11.